

(25) NATMFEEMにおける入力物性値に関する研究

国鉄 鉄道技術研究所 正会員 土屋 敏

1. まえがき

国鉄ではNATMの設計のために施工順序を考慮した非線形粘弾性有限要素プログラムNATMFEEMを開発使用して来た。この設計プログラムを使用するには多くの物性パラメータをインプットする必要があり、通常岩石試験結果によっているが必ずしも地山全体の性質を表わしていない場合がある。本研究は計算結果に特に大きな影響を及ぼすパラメーターについて、現場計測結果と計算結果を比較し現象に適合するパラメーターのあり方を見出そうとするものである。対象トンネルは施工法が標準的で計測結果、物理試験結果の整っている12ヶ所を選んだ。

なお、本研究ではいわゆる膨脹性地山区間は対象としていない。

2. NATMFEEM入力パラメーターの種類

NATMFEEMに含まれる主な物性パラメーターを表-1に示す。これらのパラメーターのうちトンネルの変位積、支保材の発生応力に最も大きな影響を持っているのは、土被りHと地盤の初期変形係数D₀である。一方トンネルの変形モード（内空変位積の天端沈下量に対する相対的な比率）に最も大きな影響を持っているのは、地盤の初期側圧係数K₀である。本研究では、これらの値の取方に主眼を置いて考える。

2.1 初期地圧に関するパラメーター

初期鉛直土圧はrHとする。初期側圧係数はK₀・rHとする。

2.2 地盤の変形特性に関するパラメーター

三軸試験の応力-歪曲線の非線形性を、破壊接近度Rと接線変形係数の関係で見ると、Rが弾性限界R_{EL}以上の場合にはD=D₀で一定であり、RがR_{EL}以下になるとDは減少し始める。（図-1）

解析断面の切羽付近で採取されたサンプルの三軸試験（一部、一軸試験も含む）の応力-歪曲線を整理し、D₀、R_{EL}、nといった値を求めた結果を表-2に示す。データはr₀によって変化するが、推定側圧K₀・rHに近い場合のものを採用した。これらの結果を未固結地山、軟岩、硬岩に分けて図-2に示す。

以下の解析において、R_{EL}、nは表-2の値をそのまま用いるが、D₀は修正係数k₀を乗じR_{0'}として用いる。

$$R_{0'} = k_0 \times R_0$$

D_fは未固結地山を主たる対象として図-2より

$$D_f = 0.1 D_0' \quad \text{とする。}$$

表-1 NATMFEEMの主な物性パラメーター

物性パラメーター	備考
土被り H	地形より決まる。
初期側圧係数 K ₀	原位置試験により求めることも可能であるが、ほとんど行われていない。地質的状況にも支障される。
単位体積重量 γ _t	物性試験より決まる。
初期変形係数 D ₀	三軸試験の応力-歪曲線より求まるが、割れ目の影響を受けやすく、地盤全体を考慮すると不明点が多い。
地盤の変形特性の実形 D _f	接線特性を示す岩では、物性試験や理論からは決まらない。
初期ボアン比 ν ₀	三軸試験の横圧から求まる。岩間により標準的な値は概ね決まる。
破壊時 r _b	剛性状態のボアン比 0.5に近い値を用いる。
弾性限界 R _{EL}	三軸試験の応力-歪曲線より求まる。
パラメーター n	三軸試験の応力-歪曲線より求まる。
粘着力 C	三軸試験より求まるが割れ目の影響を受け易く、地盤全体を考慮すると不明点が多い。
内部摩擦角 φ	三軸試験より求まる。D ₀ 、Cに比べると割れ目の影響は小さい。
引張強度 σ _t	引張強度試験より求まるが、一般には行われていない。また、Cと同様に地盤状態の影響を受け易い。
粘性係数 α _v	クリープ試験より求まるが一般には行われていない。
時間低減率 β _t	同一
切羽付近の切羽半径 α _c	切羽までの先行変位 30°ということが α _c =2と決まる。
切羽付近の時間低減率 β _c	トンネルと切羽の平均進行速度より求まる。
切羽のヤング係数 E _c	吹付けコンクリートの接線構造試験より、クリープ歪、乾燥収縮歪を合めた見掛けの値として求まる。
ゴルトの応力-歪曲性	ロックゴルトの引張試験より求まる。
ボルトと地盤の間の摩擦力 C _b 、φ _b	地盤又は風化モルタルのうち、いずれか弱い側の C、φ を用いる。
ゴルトの孔径 T _b	削孔径および地山の種類により決まる。

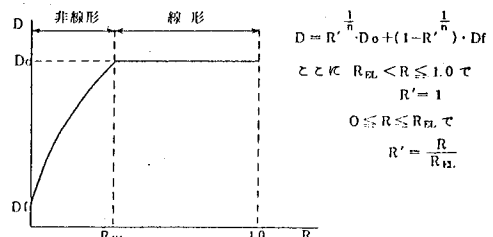
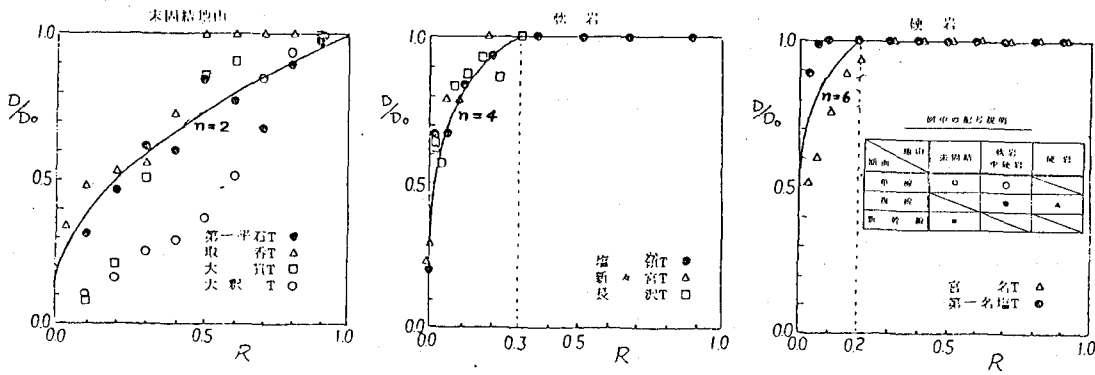


図-1 岩の変形特性の非線形性

表-2 コアサンプル(三軸試験)の非線形パラメーター一覧表

トンネル名	岩種	三軸試験		非線形パラメーター	
		[kN/cm²]	[度]	D ₀ [kN/cm²]	R _{EL}
第一平石	マサ岩	0.17	25	113	1.0
米坂石	砂岩	0.26	29	255	0.7
大谷石	砂岩	0.20	32	230	1.0
大谷通	中粒砂岩	0.2	37.5	1,270	0.9
佐藤	泥岩	1.0	37	3,200	0.3
第一日坂	泥岩	25	35	51,300	0.3
長良	泥灰質泥岩	14	43	14,000	0.3
中野木石	泥岩	13	36	9,000	0.2
横山	細粒砂岩	21	42	27,800	0.3
第一中ノ二	粗粒砂岩	39	39	19,400	0.3
第一名峰	結晶質泥灰岩	130	50	133,000	0.1
岩宮名	粗粒玄武岩	65	40	160,000	0.3



(図-2) 岩石三軸試験による破壊接近度と変形係数の関係

ボアソン比 V_0 については過去の資料等を参考にして、地山区分に応じて硬岩 0.25、軟岩、中硬岩 0.30 未固結地山 0.35 とした。破壊時ボアソン比 V_f は、連続体の塑性流動状態における 0.5 に近い値として、地山区分にかかわらず 0.45 を用いた。

2.3 地盤の強度に関するパラメーター

岩盤の弾性係数が減少するとそれに応じて岩盤の粘着力 C も減少するが、岩盤の内部摩擦角は余り影響を受けない。これに基づき、内部摩擦角は三軸試験結果を用い、粘着力は三軸試験結果の C を次のように初期変形係数と連動させて C' に修正して用いることにした。 $C' = \alpha \times C$ ただし上限は C 、引張強度 σ_t は資料にもとづき $\sigma_t = 0.2C'$ とする。

2.4 覆工に関するパラメーター

吹付けコンクリートは、他の普通のコンクリートとは異なり若材令で応力を受けるため、弾性変形以外にも相当量のクリープ変形、乾燥収縮変形を示す。今回、吹付コンクリートのクリープ試験を行い、その結果より、計算に用いる見掛けのヤング係数は、 $E_c = 34000 \text{ kgf/cm}^2$ と定めた。

3. 解析結果

計測結果、主要な入力定数、解析結果の一覧表を表-3に示す。解析は天端沈下量と上半コンバージェンスが一致するようを行っているので、これら以外の計測項目について実測値と解析結果を図3~6において比較検討している。

(表-3) 計測結果からびに解析結果一覧表

地 山		未 固 結				軟 岩				中 硬 岩				硬 岩	
トネキヘ名 (断面キロ)		第一平石 (230kg/m ³)	吸 (62K780M)	大 (13K324M)	日 (470K430M)	大 (22K467M)	吸 (29K439M)	大 (34K948M)	白 (70K217M)	及 (94K974M)	前 (31K113M)	右 (108K616M)	第一中二段 (21K606M)	右 (108K616M)	
岩 直		マテ 土	砂	砂	砂	砂	砂	砂	砂	砂	砂	砂	砂	砂	
地 山 分 類		土 砂 I	土 砂 I	土 砂 I	土 砂 I	土 砂 I	土 砂 I	土 砂 I	土 砂 I	土 砂 I	土 砂 I	土 砂 I	土 砂 I	土 砂 I	
土 強り H (m)	3	9.5		1.0	5.0	4.2	2.5	2.0	1.7	1.5	6.5	2.5	1.05		
地 表 沈 下 (mm)	11.0	4.6	4	—	—	—	3	—	—	—	—	—	—		
天 壁 沈 下 (mm)	6.9	1.8	4	2	5.0	5.4	5	7	7	7	3	1.5	0.8		
上 半 コン パ (mm)	—	10.1	4.8	5.2	7.4	4.3	5.2	3.0	2.0	8.9	—	0.4			
下 半 コン パ (mm)	10.5	11.2	2.8	2.4	6.9	2.5	5.4	1.3	7	4.2	4.4	1.2			
9.0% 收束距離 () は下限コンパ	28×a	1.9×a	4.2×a	2.8×a	3.7×a	5.9×a	4.9×a	5.9×a	2.7×a	4.1×a	1.5×a	1.8×a			
9.0% 收束距離 () は下限コンパ	(1.7×a)	(1.4×a)	(0.6×a)	(1.6×a)	(5.4×a)	(2.5×a)	(2.1×a)	(7.4×a)	(8.7×a)	(3.9×a)					
ギルト強力 (t/mm)	0.8~2.8	1.0~2.7	0.9~1.7	5.0~9.0	1.03~1.76	0.6~4.3	1.4~6.2	5.2~9.8	1.5~8.0	1.7~1.7	1.8~6.6	(3.0)			
吹付け圧力 (kgf/cm ²)	—	0.5~4.2	0.1~0.3	0.9~1.27	1.0~3.95	—	—	0.5~5.9	1.5~1.70	0.1~1.1	0.1~1.4				
入 位体積 V_s (1/m ³)	1.62	1.77	1.88	1.66	2.25	2.55	1.61	1.88	1.92	2.33	2.57	2.66			
初期剛性系数 K_0	0.36	0.37	0.46	0.90	0.94	0.40	0.42	0.28	1.05	1.00	1.26	1.13			
初期変形係数 D'_0 (kgf/cm ²)	11.9	25.5	15.00	10.100	4.35	5.64	8.00	1.000	3.150	9.890	14.000	144.000			
粘着力 C' (%)	0.17	0.26	0.20	0.20	1.36	0.50	0.89	1.44	2.38	1.53	1.43	5.85			
内部摩擦角 ϕ (度)	25	29	32	37.5	37	35	43	36	42	39	50	40			
弹性限界 R_{pl}	1.0	0.7	1.0	0.9	0.3	0.3	0.3	0.2	0.3	0.3	0.1	0.3			
パラメータ n	2	2	2	0.7	4	6	4	3	4	10	10	4			
地 表 沈 下 (mm)	11.0	6.2	3.1	—	—	—	2.1	—	—	—	—	—			
天 壁 沈 下 (mm)	6.9	4.8	3.9	2.1	5.8	5.2	4.8	6.4	6.8	7.3	1.5	0.8			
上 半 コン パ (mm)	2.4	1.0	5.0	5.2	7.6	4.2	5.1	3.0	2.03	8.9	4.4	1.2			
下 半 コン パ (mm)	1.3	1.8	— 1.4	4.5	7.1	1.2	3.6	— 0.3	1.21	4.8	—	1.2			
ギルト強力 (t/mm)	1.0~1.2	2.4~3.6	0.3~2.7	1.2~2.5	9.7~2.66	3.4~1.45	10~1.9	1.7~3.9	4.4~6.9	5.3~9.8	23~36	1.0~1.2			
吹付け圧力 (kgf/cm ²)	0.6~4.1	1.5~3.3	0.3~3.5	2.3~7.6	6.7~2.14	4.3~1.16	5.2~1.13	4.2~1.80	6.4~3.83	6.7~4.04	8.2~16.4	3.7~6.2			

* : () 内の値は、その一本だけ特と大きいかぎれいでいる強度測定値

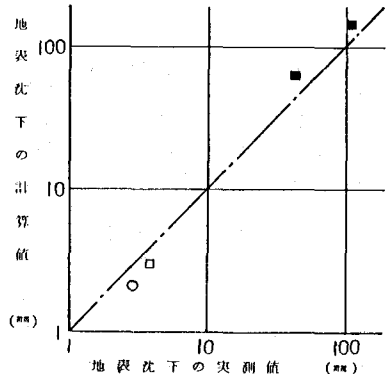


図-3 地表沈下の計算値と実測値の比較

地表沈下、下半コンバージェンス、ボルト軸力は比較的によい一致を示している。吹付コンクリートの応力は計算値の方が数倍大きく出ているものがある。以前吹付コンクリートのヤング係数を

$100,000 \text{ kgf/cm}^2$ として計算したときに比べるとかなり改善されてはいるもののまだ相当の差がある。この原因については測定側にもあると考えられ今後の検討が必要である。固い地山で変形量の小さいトンネルで実測値が計算値より小さく、未固結地山あるいは変形量の大きいトンネルで比較的よく一致していることは、誤差の原因が計測器の不陸等によることを示しているように考えられる。

4. 物性パラメーターと計算

変位

4.1 変形モード

図-7に変形モード(=上半コンバージェンス/天端沈下)と初期側圧係数 K_0 の関係を示す。円型トンネルの場合は $K_0 = 1.0$ で理論的に $\lambda = 2$ となるが、縦長の単線断面ではこれよりも天端沈下が小さく上半コンバージェンスが大きくなっている。一方、複線・新幹線断面の場合は円型トンネルに近い比率となっていることがわかる。

4.2 变位量

図-8に平均変位率 U (=天端沈下 + $\frac{1}{2}$ 上半コンバージェンス/トンネル外径)と計算上の地山剛性比 $r_t \cdot H$ と D_0' の関係を示す。同図より両者には強い相関があることが分る。すなわち変位量は土被り圧 $r_t \cdot H$ と地山の剛性 D_0' に強く支配されている。

5. 地山と物性パラメーター

5.1 土被りと初期側圧係数

図-9に初期側圧係数 K_0 と土被り H との関係を示す。 K_0 の値は土被りと強い関係があり、 $H < 30m$ の浅い地山では K_0 は0.4程度と小さく、 $H = 40 \sim 50m$ と深くなると K_0 は1.0前後となりこれ以上

H が大きくなても K_0 は

1.0前後の値で推移する。今回は $20m < H < 40m$ の例が少

なく、この間の K_0 の値の変化については推定の域を出ないものの、概ね以下の式により近似されるものと考えられる。

$$H \leq 50m \text{ の場合 } K_0 = 0.015 \times H + 0.25$$

$$H > 50m \text{ の場合 } K_0 = 1.0$$

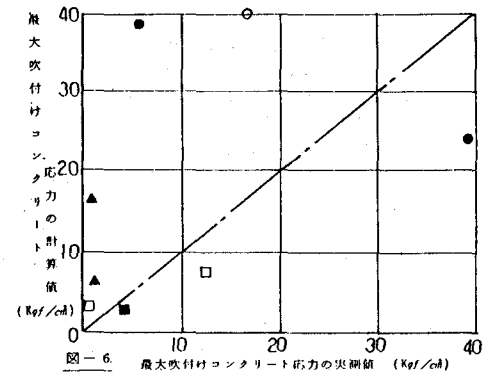


図-6 最大吹付けコンクリート応力の計算値と実測値の比較

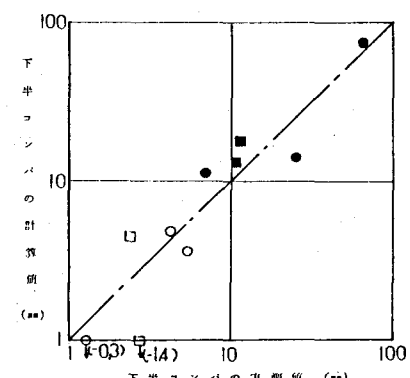


図-4 下半コンバージェンスの計算値と実測値の比較

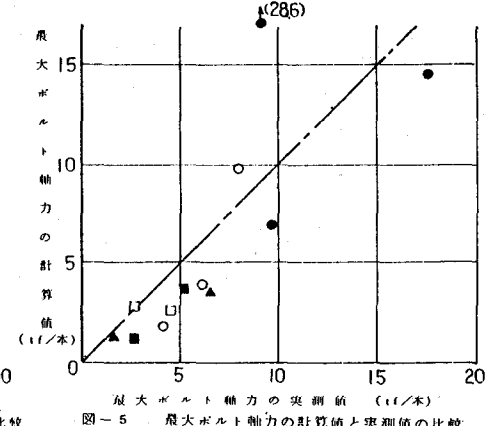


図-5 最大ボルト軸力の計算値と実測値の比較

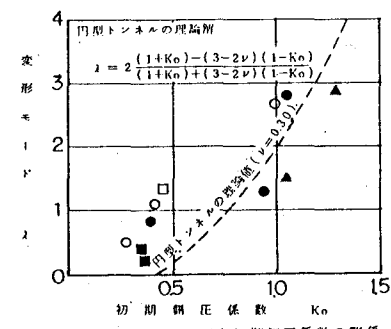


図-7 変形モードと初期側圧係数の関係

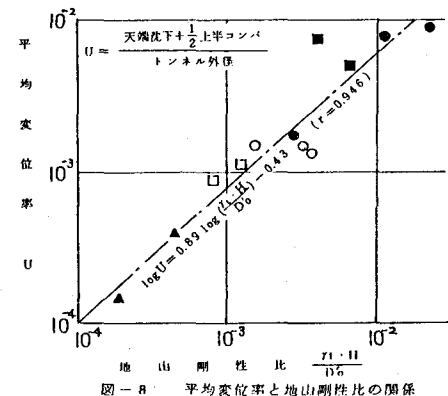


図-8 平均変位率と地山剛性比の関係

5.2 地山分類と修正係数

未固結地山の場合の修正係数 κ ($= D_0^{\prime \prime} / D_0$) を図-10に示す。N値が10~30のいわゆる「中位の砂」に相当する平石T₁や取香T₁では κ はほぼ 100% となった。

大貫T. と大駿迦T. については三軸試験による初期変形係数D₀を相当割増して使用しなければならないという結果となっている。この二つのトンネルに特徴的なことは1)「密な砂」または「非常に密な砂」である。2)インバートが早期に閉合されている。2)の影響は後方の覆工によるシェル効果が考えられる。しかしそれ以上に密な砂のコアを採取時のゆるみがより大きくなる影響したのではないかと考えられる。

岩盤地山の場合の修正係数 α を図-11に示す。同図より、地山分類がIV以上の場合は α は50~90%と比較的大きな値であるが、III以下では10~20%と非常に小さい値でほぼ一定になる傾向を示している。

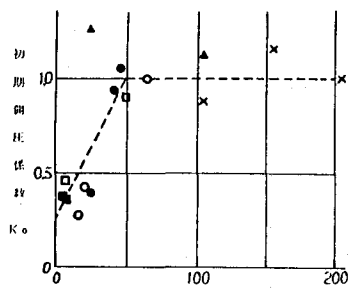
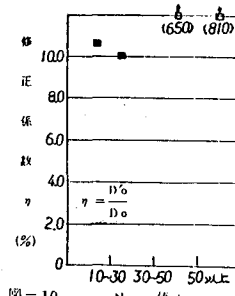
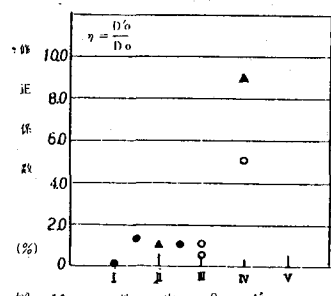


图-9 初期单位面积上之着力分布



修正係数とN値の関係(未固結地山)



修正係数と地山分類の関係(岩盤地山)

6. 地山分類と初期変形係数 $D\phi'$ 、強度定数 C' 、 ϕ'

地山分類と D_0 、 C' 、 ϕ' の関係を調べた結果を図-12、13に示す。同図より地山分類と強い相関が認められ、地山分類によって物性値をパターン化することの可能性を示唆している。

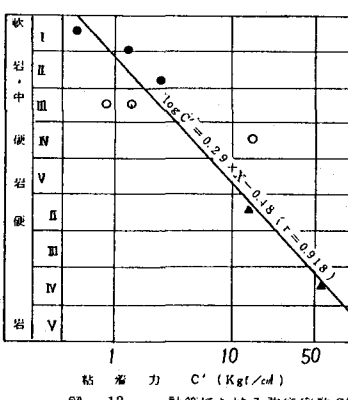
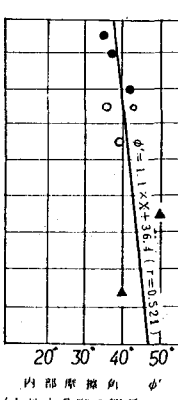


図-12 計算における強度定数C', ϕ' と地山分類の関係



初期変形係数 D_0' (Kgf/cm²)

7. あとがき

12トンネルの調査結果、計測結果を用いてFEMによるパラメータスタディを実施した結果以下のことが分かった。
トボコンバージョン

- 変形モード入=上半コンバージェンス 天端沈下は側圧係数 K_0 にはほぼ支配される。
 - K_0 , D_0 を正しく想定すると、上半コンバージェンス、下半コンバージェンス、天端沈下、ロックボルト軸力はNATM-FEMにより正しく予測することが出来る。
 - 吹付コンクリート応力は計算値が実測値の数倍になるものもあった。この原因については計測方法についても検討する必要がある。
 - 初期側圧係数 K_0 は土被りが30m未満では 0.35 ~ 0.50 と小さく40~50m以上になると 1.0前後ではほぼ一定になる傾向を示す。
 - 岩盤地山における初期変形係数 D_0' の三軸試験の D_0 に対する修正係数 α は、分類Vで80%、IVで50%、III、IIで10%程度が大まかな目安となる。
 - 地山物性値 D_0 、C、φ等は地山分類に応じてほぼパターン化することが出来る。

上記の結論を得たが各種の複雑な条件に対して用いたデータはわずかに12トンネルのものであり今後もさらにデータを積み重ねて精度を改善していくことが望ましい。

(25) Study on the Input Parameters
for NATMFEM Analysis

Railway Technical Research Institute, T. Tsuchiya

Summary

Many kinds of FEM program have been already published for tunnel analysis. But, in any case, how to determine the input parameters is still remained one of the great problems, because of the complex behavior of the real ground which contains discontinuity and nonhomogeneity.

Using NATMFEM program which is developed for NATM tunnel analysis by Railway Technical Research Institute of J.N.R., the parametric studies on the twelve tunnels were carried out, based on the geological inspection results and the field measurement results. Four of them are earth tunnels, six are soft rock ones and two are hard rock ones. Tunnels under the special conditions such as tunnel in the swelling ground are not involved in these examples.

The conclusions of these studies are as follows.

- (1) NATMFEM gives the reasonable predictions about upper half and lower half convergences, crown and surface settlements and rock bolt forces, by using the suitable lateral pressure coefficient K_o and initial deformation modulus D_o .
- (2) K_o value shows a tendency to change according to the overburden depth and becomes constant in the range deeper than 40 ~ 50 M.
- (3) The input parameters such as D_o , C and ϕ , etc. have been established in accordance with the ground classification.